

خواص تراپردا و شبیه گاف در ابررسانای $NdBa_{2-x}La_xCu_3O_{7-\delta}$

شعبان رضا قربانی

گروه فیزیک، دانشگاه تربیت معلم سبزوار

(دریافت مقاله: ۱۵/۶/۸۵؛ دریافت نسخه نهایی: ۱۵/۱/۸۵)

چکیده

ترکیب بسیلور $NdBa_{2-x}La_xCu_3O_{7-\delta}$ با $x=0, 0.05, 0.1, 0.15, 0.2, 0.3$ به روش استاندارد واکنش حالت جامد ساخته شدند. خواص تراپردا و ابررسانای آن با اندازه‌گیری مقاومت ویژه الکتریکی به صورت تابعی از دما و تراکم آلاش مطالعه شده است. به منظور اندازه‌گیری تراکم حاملها در صفحات CuO_2 اتاق به صورت تابعی از تراکم آلاش La اندازه‌گیری شده است. با افزایش تراکم آلاش مقاومت الکتریکی و توان گرمایالکتریسته در دمای اتاق افزایش دمای بحرانی به صورت سهموی کاهش می‌یابد. دمای شبیه گاف (یا انرژی شبیه گاف) به صورت تابعی از تراکم آلاش از روی انحراف به سمت پایین وابستگی خطی مقاومت الکتریکی به دما اندازه‌گیری شده است. تغییرات دمای بحرانی، دمای شبیه گاف، مقاومت ویژه الکتریکی و توان گرمایالکتریسته در دمای اتاق، $K(290\text{--}5)$ جملگی حاکی از آن هستند که علت اصلی از بین رفتن ابررسانایی در این آلیاژ پرشدن حفره‌ها به وسیله الکترونها اضافه شده توسط آلاش است.

واژه‌های کلیدی: ابررسانایی، آلاش، شبیه گاف

۱. مقدمه

مستقیم جهت مشاهده باز شدن شبیه گاف در چگالی حالتها (DOS)^۱ الکترونی حول تراز فرمی اندازه‌گیری خواص تراپردا در صفحات CuO_2 است. بنابراین مطالعه خواص تراپردا ابزاری مؤثر و مستقیم برای مطالعه شبیه گاف است. مقاومت ویژه الکتریکی در حالت عادی دارای وابستگی خطی به دما است. انحراف به سمت پایین از این وابستگی خطی در دمای معین T_g ، که کاملاً بالاتر از دمای گذاراست، ناشی از بازشدن شبیه گاف است. در حالت شبیه گاف ناهنجاریهای مختلفی در هر دو حالت عادی و ابررسانایی مشاهده شده است که می‌توان آنها را براساس کاهش چگالی حالتی تک ذره‌ای مؤثر در نزدیکی انرژی فرمی شرح داد [۲، ۵].

مطالعات نظری وسیعی برای شرح دادن منشأ شبیه گاف انجام

خواص تراپردا حالت عادی و ابررسانایی اکسیدهای کوپرات با دمای بحرانی بالا شدیداً حساس به افزایش یا کاهش تعداد حاملها (حفره‌ها) در صفحات CuO_2 هستند. یکی از پدیده‌هایی که در سالهای اخیر به طور وسیعی در فیزیک ابررساناهای با دمای بحرانی بالا مورد مطالعه قرار گرفته است حالت شبیه گاف است [۱، ۲]. شبیه گاف اولین بار از روی مطالعه سیستماتیک انتقال نایت تشید مغناطیسی هسته ایتریم ^{89}Y NMR [۳] و آهنگ واهلش اسپین-شبکه برای هسته مس در صفحات CuO_2 [۴] کشف شد. شبیه گاف در گستره وسیعی از سطح آلاش، از ناحیه آلاییده شده کمتر از حد بهینه (underdoped UD) تا اندکی داخل ناحیه آلاییده شده بیشتر از حد بهینه (overdoped OD)، مشاهده شده است. یکی از شواهد

۱. Density of states

ویژه الکتریکی اندازه‌گیری می‌شود. دمای شبه گاف از روی انحراف به سمت پایین وابستگی خطی مقاومت ویژه الکتریکی به دما در حالت عادی به دست می‌آید. توان گرمالکتریسته در دمای اتاق اندازه‌گیری و جهت تعیین دیاگرام فاز تراکم حفره‌ها از روی رابطه تجربی بین (290 K) S به دست می‌آید.

۲. ساخت و تست نمونه

نمونه‌های بس بلور- δ $\text{NdBa}_{2-x}\text{Cu}_x\text{O}_{7-\delta}$ با $0/15, 0/20, 0/30$ ، $0/10, 0/05, 0/x=0$ به روش پودر حالت جامد ساخته شدند. جهت ساخت از مواد اولیه Nd_2O_3 ، BaCO_3 ، CuO ، La_2O_3 درجه خلوص بالا استفاده شد. پودر مواد اولیه ابتدا به دقت وزن و سپس با هم مخلوط شدند. نمونه‌ها به صورت قرص سه بار به ترتیب در دماهای 900°C و 920°C پخت شدند. در بین مراحل پخت قرصها آسیاب می‌شدند. برای بهینه کردن مقدار اکسیژن، نمونه‌ها در حضور اکسیژن به مدت ۳ روز در دمای 460°C باز پخت شده و سپس تا دمای اتاق با آهنگ $12^\circ\text{C}/\text{hr}$ سرد شدند.

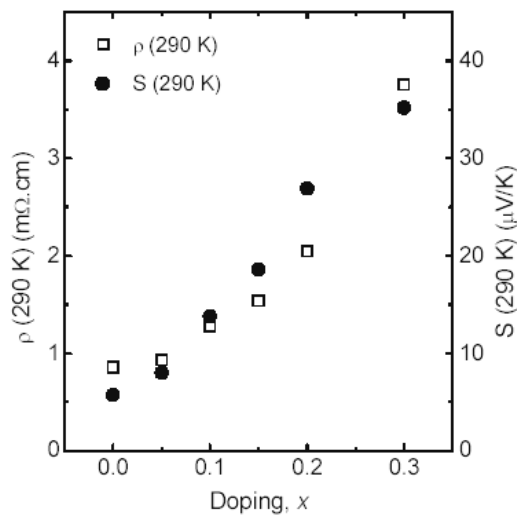
پراش به روش پودر اشعه-X (XRD) برای نمونه‌ها انجام گرفت. نتایج XRD نشان داد که تمام نمونه‌ها تک فاز و دارای ساختار 123 راست گوشه هستند. جهت اندازه‌گیری مقاومت ویژه الکتریکی سیمهای مسی توسط چسب نقره به نمونه‌ها متصل شدند. برای دست‌یابی به یک اتصال الکتریکی خوب، قبل از اتصال سیمهای مسی، چسب نقره به صورت نوارهای کوچکی بر روی نمونه‌ها الگو شده و در دمای 300°C در حضور شارش اکسیژن به مدت نیم ساعت رفتار حرارتی شدند. این عمل منجر به مقاومت الکتریکی از مرتبه $2-1$ برای اتصال‌ها شد. نتایج اندازه‌گیری تغییرات مقاومت الکتریکی بر حسب دما برای نمونه‌ها دارای گذار تیزی از حالت عادی به حالت ابرسانایی است. توان گرمالکتریسته در دمای اتاق برای نمونه‌های میله‌ای شکل بریده شده از قرصهای پخت شده به ابعاد $3 \times 11 \times 2/4 \times 2/5 \text{ mm}^3$ اندازه‌گیری شد. برای اندازه‌گیری از یک گرادیان دمای برگشت پذیر کوچک تا $1/5\text{K}$ استفاده گردید.

گرفته است. به طور کلی نظریه‌های موجود را می‌توان به دو دسته تقسیم کرد. اولین نظریه بر اساس تشکیل زوجهای کوپر در دماهای کاملاً بالای دمای بحرانی همراه با همدوسی فاز بلند برد، که فقط در $T_c \leq T \leq T_e$ ظاهر می‌شود، است [۶-۸]. در دومین نظریه فرض می‌شود که ظهور شبه گاف ناشی از افت و خیزهای پادفرو-مغناطیسی کوتاه برد، امواج چگالی بار، گذار فاز ساختاری یا جداسازی فاز الکترونی در مقیاس میکروسکوپی (نوارهای بار) است [۹-۱۱]. چون در اثر کاهش تدریجی حالت‌های نزدیک تراز فرمی شبه گاف ظاهر می‌شود بنابراین یک نتیجه اساسی که بایستی از تمام مدل‌های نظری به دست آید پایسته نبودن چگالی حالت‌های تک ذره‌ای در حالت شبه گاف است [۱۲].

دیاگرام فاز-p-T، که در آن دما، T، بر حسب تراکم CuO_2 موجود در صفحات CuO_2 بازای هر یون Cu^{+2} رسم می‌شود، اطلاعات ارزشمندی درباره خواص حالت عادی و ابررسانایی در نواحی متقاطع مختلف ارائه می‌دهد. یکی از روش‌های بنا کردن دیاگرام فاز ابررساناهای با دمای بحرانی بالا اندازه‌گیری مقاومت ویژه‌ی الکتریکی به صورت تابعی از دما و تراکم حفره‌ها است.

تعیین دقیق تراکم حفره‌ها جهت بناکردن دیاگرام فاز-p-T بسیار مهم است. اندازه‌گیری توان گرمالکتریسته در دمای اتاق (290 K) S یکی از روش‌های متدال برای اندازه‌گیری تراکم حفره‌ها است. چون پیدا شده است که توان گرمالکتریسته در دمای اتاق برای ابررساناهای با دمای بحرانی بالا درگستره وسیعی از سطح آلایش، از نواحی کاملاً UD تا نواحی شدیداً OP، دارای تغییرات سیستماتیکی با تراکم حفره‌ها در داخل صفحات CuO_2 است [۱۳]. بنابراین (290 K) S روش بسیار مناسبی برای اندازه‌گیری تراکم حفره‌ها در صفحات CuO_2 است.

در این مقاله مطالعه سیستماتیکی از خواص ترا بر دی ابررسانای δ - $\text{NdBa}_{2-x}\text{Cu}_x\text{O}_{7-\delta}$ در ناحیه آلاییده شده کمتر از حد بهینه UD، که در ابررساناهای با دمای بحران بالا توسط حضور شبه گاف تمیز داده می‌شود، ارائه می‌گردد. مقاومت ویژه الکتریکی به صورت تابعی از دما و چگالی آلایش La در مکان Ba اندازه‌گیری می‌شود. دمای بحرانی از روی افت 50% مقاومت



شکل ۲. وابستگی مقاومت و یزه الکتریکی (محور سمت چپ) و توان گرم‌الکتریسیته (محور سمت راست) در دمای اتاق بر حسب تراکم آلایش La برای نمونه‌های $NdBa_{7-x}La_xCu_3O_{7-\delta}$.

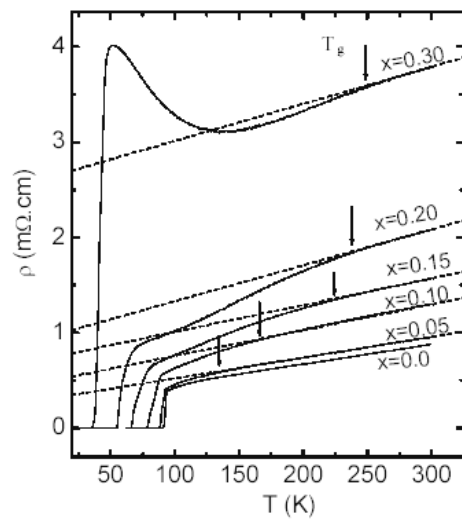
گرفت که اضافه نمودن La منجر به کاهش تراکم حاملهای بار و در نتیجه کاهش خاصیت فلزی می‌شود.

شکل ۳ دمای بحرانی نمونه‌ها را، که از روی مقاومت الکتریکی تعیین شده است، نشان می‌دهد. دیده می‌شود که تغییرات دمای بحرانی T_c بر حسب تراکم آلایش x به صورت سهموی است.

تراکم حفره‌ها از روی (290 K) S با استفاده از رابطه تجربی بین گرم‌الکتریسیته در دمای اتاق و تراکم حفره‌ها p در داخل صفحات CuO_2 [۱۳] برای تمام نمونه‌ها محاسبه شده است. با استفاده از مقادیر به دست آمده دیاگرام فاز T-p در شکل ۴ رسم شده است. وابستگی T_c به p به صورت سهموی است که در توافق با وابستگی سهموی مشاهده شده توسط پرسلند و همکارانش [۱۴] می‌باشد. بررسی تغییرات دمای بحرانی بر حسب چگالی حفره‌ها در صفحات CuO_2 برای اکثر ابررساناهای کوپرات نشان داد که وابستگی T_c -p براساس معادله زیر است [۱۵] :

$$T_c = T_{c,\max} [1 - 82/6(p - 0.16)] \quad (1)$$

که در آن $T_{c,\max}$ دمای بحرانی بیشنه و p تراکم حفره در داخل صفحات CuO_2 است. دادهای تجربی T_c به دست آمده،

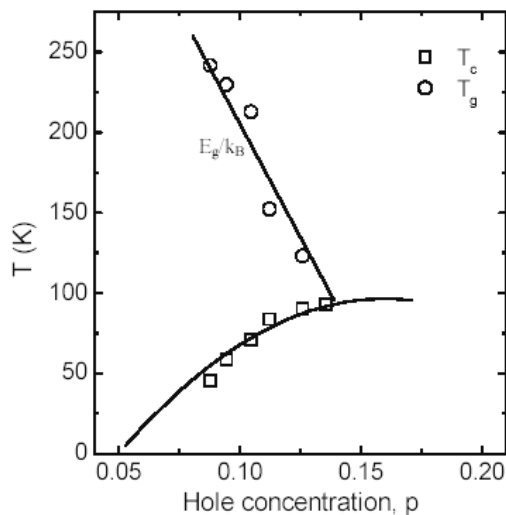


شکل ۱. تغییرات مقاومت و یزه الکتریکی به صورت تابعی از دما و تراکم آلایش برای نمونه‌های $NdBa_{7-x}La_xCu_3O_{7-\delta}$. خط‌چینها وابستگی خطی مقاومت و یزه الکتریکی به دما را نشان می‌دهد. انحراف به سمت پایین مقاومت و یزه الکتریکی از وابستگی خطی در دمای معین T_g توسط پیکانها نشان داده است.

۳. نتایج و تحلیل داده‌های تجربی

نتایج اندازه‌گیری مقاومت الکتریکی به صورت تابعی از دما و تراکم آلایش برای نمونه‌های $NdBa_{7-x}La_xCu_3O_{7-\delta}$ در شکل ۱ نشان داده است. با کاهش دما مقاومت الکتریکی نمونه‌ها از دمای اتاق تا دمای معین T_g که کاملاً بالاتر از دمای گذار است، به صورت خطی کاهش یافته و در دمای بحرانی T_c دارای گذار تیزی از حالت عادی به حالت ابررسانایی است. همان طور که در شکل دیده می‌شود افزایش تراکم آلایش La منجر به افزایش شدیدی در اندازه مقاومت و یزه الکتریکی می‌شود. این تغییرات نشان دهنده کاهش تراکم حاملها است.

وابستگی مقاومت و یزه الکتریکی (290 K) ρ و توان گرم‌الکتریسیته (290 K) S در دمای اتاق بر حسب تراکم آلایش در شکل ۲ نشان داده شده‌اند. شکل فوق نشان می‌دهد که در فاز راست گوشه، (290 K) ρ و (290 K) S با افزایش تراکم آلایش La افزایش می‌یابند. لذا بر اساس وابستگی‌های ρ و S (290 K) به تراکم حفره‌ها می‌توان نتیجه

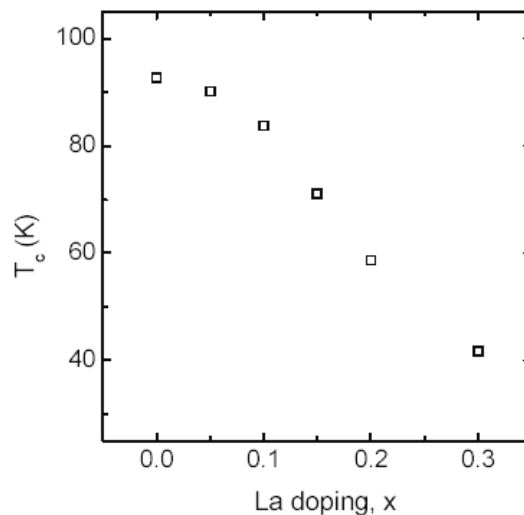


شکل ۴. دیاگرام فازبرای نمونه‌های ابررسانای $\text{NdBa}_{2-x}\text{La}_x\text{Cu}_3\text{O}_{7-\delta}$. منحنی سهمی شکل برآش داده‌های تجربی به معادله (۱) است. خط راست جهت دید چشم است.

دلیل اندازه‌گیری دمای شبکه گاف برای نمونه‌ی آلایش نشده مشکل است. سپس پهنهای انرژی شبکه گاف E_g با استفاده از رابطه $E_g = k_B T_g$, که در آن k_B ثابت بولتزمن و T_g دمای شبکه گاف است، تعیین گردید. تغییرات دمای شبکه گاف (یا انرژی شبکه گاف) بر حسب تراکم حفره‌ها در شکل ۴ نشان داده شده است. دیده می‌شود که با افزایش تراکم آلایش La دمای شبکه گاف افزایش می‌یابد. زیرا اضافه کردن La منجر به کاهش تراکم حفره‌های نمونه و با توجه به دیاگرام فاز قرار گرفتن آنها در ناحیه UD شبکه گاف از خصوصیات ناحیه فوق است، می‌شود. نتایج فوق پیشنهاد می‌کنند که افزایش تراکم آلایش La باعث تخلیه‌ی بیشتر چگالی حالت‌های الکترونی در نزدیکی تراز فرمی می‌گردد لذا سبب افزایش پهنهای شبکه گاف می‌شود.

قدرتانی

از پروفسور اُستن رپ در اینسیتو تکنولوژی رویال استکھلم سوئد جهت اجازه استفاده از تجهیزات آزمایشگاه و همکاری در اندازه‌گیری داده‌های تجربی تشکر و قدردانی می‌شود.



شکل ۳. دمای بحرانی T_c بر حسب تراکم آلایش La

شکل ۳، به معادله (۱) برآش شده و در شکل ۴ به صورت منحنی نشان داده است. $T_{c,\max}$ به دست آمده از برآش، دمای بحرانی در تراکم حفره بهینه $x = 0/16$, $p_{opt} = 0/16$ K, برابر $K^{96/4}$ است که با مقدار تجربی به دست آمده برای ابررسانای $\text{NdBa}_{2-x}\text{La}_x\text{Cu}_3\text{O}_{7-\delta}$ آلاییده شده به طور بهینه (یعنی $\delta = 0/16$) کاملاً در توافق است. این نتایج پیشنهاد می‌کنند که اضافه کردن آلایش سبب اضافه کردن الکترونها می‌شود. نتایج مطالعات قبل مان نشان داد که باعث جایگزینیه شدن La به پرشدن حفره‌ها و کاهش تراکم آنها می‌گردد. لذا عامل اصلی کاهش دمای بحرانی پرشدن حفره‌ها توسط الکترونها است.

از روی انحرف به سمت پایین وابستگی خطی مقاومت ویژه الکتریکی به دما، دمای شبکه گاف تعیین شده است. در این روش یک مشکل اساسی در اندازه‌گیری دمای شبکه گاف وقتی آشکار می‌شود که در این تراکم بهینه دمای بحرانی بیشینه است) باشد. زیرا در این شرایط دمای شبکه گاف نزدیک به دمای افت و خیزها ابررسانایی، دمایی که اندکی بزرگتر از دمای بحرانی بوده ولی هنوز تعدادی زوج کوپر وجود دارند، است که اثر آن به روشنی بر روی تغییرات مقاومت ویژه الکتریکی بر حسب دما مشاهده می‌شود. به این

مراجع

9. M Langer, J Schmalian, S Grabowski and K H Bennemann, *Phys. Rev. Lett.* **75** (1995) 4508.
10. J J Deisz, D W Hess and J W Serene, *Phys. Rev. Lett.* **76** (1996) 1312.
11. J Schmalian, D Pines and Stojkovic, *Phys. Rev. Lett.* **80** (1998) 3839.
12. J W Loram, K A Mirza, J R Cooper and J L Tallon, *J Phys. Chem. Solids* **59** (1998) 2091.
13. S D Obertelli, J R Cooper and J L Tallon, *Phys. Rev. B* **46** (1992) 14928.
14. M R Presland, J L Tallon, R G Buckley, R S Liu, N.E. Flower, *Physica C* **176** (1991).
15. J L Tallon, C Bernhard, H Shaked, R L Hitterman and J D Jorgensen, *Phys. Rev. B* **51** (1995) 12911.
16. G V M Williams and J L Tallon, *J. Supercond.* **258** (1996) 41.
17. S R Ghorbani, M Andersson and O Rapp, *Physica C* **390** (2003) 160.
1. B Batlogg and C Varma, *Physics World* **13** (2000) 33.
2. T Timusk and B Statt, *Rep. Progr. Phys.* **62** (1999) 61.
3. H Alloul, T Ohno and P Mendels, *Phys. Rev. Lett.* **63** (1989) 1700.
4. H Yasuoka, T Imai and T Shimizu, in *Strong Correlations and Superconductivity* ed. By H Fukuyama, S Maekawa and A P Malozemoff, Springer Series in Solid State Sciences, Vol. **89** (Springer, Berlin, 1989), p.254.
5. J Loram, K A Mirza, J R Cooper, W Y Liang and J M Wade, *J. Supercon.* **7** (1994) 243.
6. V B Geshkenbein, L B Ioffe and A I Larkin, *Phys. Rev. B* **55** (1997) 3173.
7. V Emery, S A Kivelson and O Zachar, *Phys. Rev. B* **56** (1997) 6120.
8. J Maly, B Janko and Levin, *Phys. Rev. B* **59** (1999) 1354.